

Wydział Elektroniki i Technik Informacyjnych
Politechnika Warszawska

Przeszukiwanie i optymalizacja
Semestr 23Z
Sprawozdanie z projektu

Temat nr 6
Algorytm roju czstek z modyfikacjami

Natalia Iwaska, Mikołaj Wewir

Warszawa, 2024

Spis treści

1. Wst�p	2
1.1. Opis algorytmu roju czstek	2
1.2. Implementacja algorytmu	3
1.2.1. Inicjalizacja	3
1.2.2. Ograniczenia	3
1.3. Modyfikacje	3
1.3.1. Modyfikacja 1	3
1.3.2. Modyfikacja 2	4
1.3.3. Modyfikacja 3	4
2. Opis testw i funkcji	5
3. Przebiegi	8
3.1. Funkcja Wielomianowa	9
3.2. Booth	10
3.3. Rosenbrock	11
3.4. Ackley	12
3.5. Michalewicz	13
3.6. Holder Table	14
4. Analiza wynikw	16
4.1. Krzywe zbieno�ci	16
4.2. Krzywe ECDF	18
4.3. Wykresy pude�kowe	20
5. Wysze wymiary	22
5.1. 5 wymiarw	22
Funkcja wielomianowa	22
Funkcja Rosenbrock	22
Funkcja Ackley'a	22
Funkcja Michalewicz'a	23
5.2. 10 wymiarw	23
Funkcja wielomianowa	23
Funkcja Rosenbrock	23
Funkcja Ackley'a	23
Funkcja Michalewicz'a	24
5.3. Analiza wynikw	24
5.3.1. Krzywe zbieno�ci	24
5.3.2. Krzywe ECDF	26
5.3.3. Wykresy pude�kowe	27
6. Podsumowanie	29
6.1. Porwnania tabelaryczne	29
6.1.1. Najlepszy wynik	29
6.1.2. Najlepsza �rednia	29
6.1.3. Krzywe zbieno�ci	29
6.1.4. Wykresy pude�kowe	29
6.1.5. Sumacyjne wyniki	30
6.2. Podsumowanie	31
7. Bibliografia	32

1. Wst p

Celem naszego projektu jest implementacja algorytmu roju czstek z modyfikacjami dotycz cymi wsp czynnika bezw cadno ci, a nast pnie porwnanie wynikw dzia ania algorytmu z jego podstawow wersj .

Prac  rozpocz li my nad zaimplementowaniem standardowej wersji algorytmu. Gdy uda o si  zrealizowa t  cz  , musieli my si  zastanowi nad moliwymi modyfikacjami wsp czynnika bezw cadno ci. Po odpowiednim przejrzeniu literatury doszli my do dwch g wnych sposobw zmiany tego parametru.

Pierwszym z nich okaza a si  zmiana warto ci wsp czynnika wraz z kolejnymi iteracjami. Mieli my tutaj do rozwaenia dwie kwestie. Pierwsz z nich by  wybr funkcji, ktra opisywa aby zmian  parametru w czasie - w naszym przypadku pad o na najprostsz realizacj , czyli funkcj  liniow. Drugim kryterium by o to czy funkcja jest rosnca czy malejca w czasie; sprawdzili my dwie opcje.

Innym sposobem na zmienno  wsp czynnika bezw cadno ci w czasie by a modyfikacja, ktra przypisywa a odpowiednie warto ci w zaleno ci od jako ci rozwizania. Tak jak w pierwszym przypadku tutaj te mogli my wybra to, czy parametr ma si  zwi ksza, czy zmniejsza w zaleno ci od wyniku. Zdecydowali my si  na jedn z opcji mianowicie na malejcy wsp czynn k, dla lepszych rozwiza.

1.1. Opis algorytmu roju czstek

Algorytm Roju Czstek (PSO, ang. *particle swarm optimization*) jest metaheurystycznym algorytmem optymalizacyjnym, inspirowanym zachowaniem stad w przyrodzie, ktry na pocztku s uy  do symulowania zachowa spo ecznch wyst pujcych w rd  awic ryb, czy kluczy ptakw.

Dla danej funkcji celu $f(\mathbf{x})$, gdzie \mathbf{x} to wektor zmiennych decyzyjnych, PSO korzysta z populacji czstek poruszajcych si  w przestrzeni poszukiwa, w celu znalezienia optymalnego rozwizania problemu. Kada czstka reprezentuje pozycj  oraz potencjalne rozwizanie (warto  w tym punkcie) problemu.

Pozycja czstki w przestrzeni poszukiwa jest okre lana przez wektor $\mathbf{x}_i = (x_{i1}, x_{i2}, \dots, x_{in})$, gdzie n to liczba zmiennych decyzyjnych.

Ruch czstki jest aktualizowany na podstawie dwch wp cyww: jej w asnego najlepszego rozwizania (lokalne) oraz najlepszego rozwizania w ca ej populacji (globalne).

Aktualizacja pozycji czstki jest opisana rwnaniem:

$$\mathbf{v}_i^{t+1} = w \cdot \mathbf{v}_i^t + c_1 \cdot r_1 \cdot (\mathbf{p}_i^t - \mathbf{x}_i^t) + c_2 \cdot r_2 \cdot (\mathbf{g}^t - \mathbf{x}_i^t) \quad (1.1)$$

$$\mathbf{x}_i^{t+1} = \mathbf{x}_i^t + \mathbf{v}_i^{t+1} \quad (1.2)$$

gdzie:

- \mathbf{v}_i^t to pr dko  czstki w chwili t ,
- \mathbf{p}_i^t to najlepsze dotd osigni te przez czstk  rozwizanie,
- \mathbf{g}^t to najlepsze dotd osigni te w populacji globalne rozwizanie,
- w to wsp czynn k bezw cadno ci,
- c_1 i c_2 to wsp czynniki akceleracji,
- r_1 i r_2 to losowe liczby z przedzia u $(0, 1)$.

1.2. Implementacja algorytmu

Algorytm zosta  zaimplementowany g wnie w funkcji `PSO.py` w kodach rd owych do czonych do dokumentacji projektowej.

1.2.1. Inicjalizacja

Inicjalizacja algorytmu obejmuje wygenerowanie 25 czstek, a nast pnie przypisanie kadej czsteczce losowej pocztkowej pozycji w przestrzeni poszukiwa, gdzie kada zmienna decyzyjna jest ustawiana na losow warto  z zakresu dziedziny badanej funkcji. Dodatkowo, inicjalizowane s rwnie losowe pocztkowe pr dko ci czsteczki, a take ustawiany jest atrybut reprezentujcy najlepszy osigni ty wynik, ktry pocztkowo jest ustawiony na nieskoczono . Te inicjalne parametry stanowi punkt wyj cia dla procesu optymalizacji rojem czsteczek. Pozosta ce parametry algorytmu:

- wsp czynn k bezw cadno ci : 0.72984
- liczba czsteczek: 25
- liczba testw: 500
- maksymalna liczba iteracji: 60
- wsp czynniki akceleracji (c_1 i c_2): 1.496

1.2.2. Ograniczenia

W celu skutecznej obs ugi naruszonych ogranicze dziedziny badanych funkcji w algorytmie optymalizacyjnym, zdecydowali my si  zaimplementowa technik  rzutowania. Ta metoda umo liwi ca utrzymanie rozwizania w obszarze dopuszczalnym, poprzez rzutowanie wsp rz dnych znajdujcyh si  poza dziedziny funkcji na wsp rz dne graniczne. Przyczyni o si  to do poprawy dzia ania algorytmu.

1.3. Modyfikacje

Poniewa projekt dotyczy badania wp cywu zmiany parametru bezw cadno ci czsteczek na wyniki dzia ania algorytmu, wszystkie pozosta ce parametry pozostawili my jednakowe. Przyj te one zosta y na podstawie rekomendowanych parametrw, opracowanych w badaniu przez M. Clerc'a oraz J. Kennedy'ego. W podstawowej wersji algorytmu wsp czynn k bezw cadno ci jest sta y. Zaimplementowali my trzy rne modyfikacje algorytmu, ktre sprawiaj, e wsp czynn k ten jest zmienny w czasie.

1.3.1. Modyfikacja 1

W pierwszej modyfikacji warto  wsp czynnika ro nie wraz z kad iteracj algorytmu.

$$\mathbf{w} = w_{\text{init}} \cdot \frac{t}{t_{\text{max}}} + 0.2 \quad (1.3)$$

gdzie:

- w_{init} to pocztkowa warto  wsp czynnika bezw cadno ci rwna 0.72984
- t to numer aktualnej iteracji
- t_{max} to maksymalna liczba iteracji w naszym przypadku rwna 60

Wsp czynn k startuje ze wsp czynnikiem bezw cadno ci rwnym 0.2 i z kada iteracj ro nie, a do warto ci rwniej $0.72984+0.2$ czyli 0.92984

1.3.2. Modyfikacja 2

W drugiej modyfikacji warto  wsp czynnika bezw adno ci zale  od jako ci rozwizania. Im jako  rozwizania jest bli sza najlepszemu globalnemu rozwizaniu tym inercja ma mniejsza warto .

$$\mathbf{w} = (w_{\text{init}} + 0.1) \cdot \frac{dif}{dif + 1} \quad (1.4)$$

gdzie:

- dif to r nica mi dzy najlepszym globalnym wynikiem, a najlepszym dotychczasowym wynikiem cz tki.
- w_{init} to pocz tkowa warto  wsp czynnika bezw adno ci r wna 0.72984

1.3.3. Modyfikacja 3

W drugiej modyfikacji warto  wsp czynnika maleje wraz z kad iteracji algorytmu.

$$\mathbf{w} = w_{\text{init}} \cdot \frac{t_{\text{max}} - t}{t_{\text{max}}} + 0.2 \quad (1.5)$$

gdzie:

- w_{init} to pocz tkowa warto  wsp czynnika bezw adno ci r wna 0.72984

Wsp czynn k startuje ze wsp czynnikiem bezw adno ci r wnym 0.92984 i z kad iteracji maleje, a do warto ci r wnej 0.2.

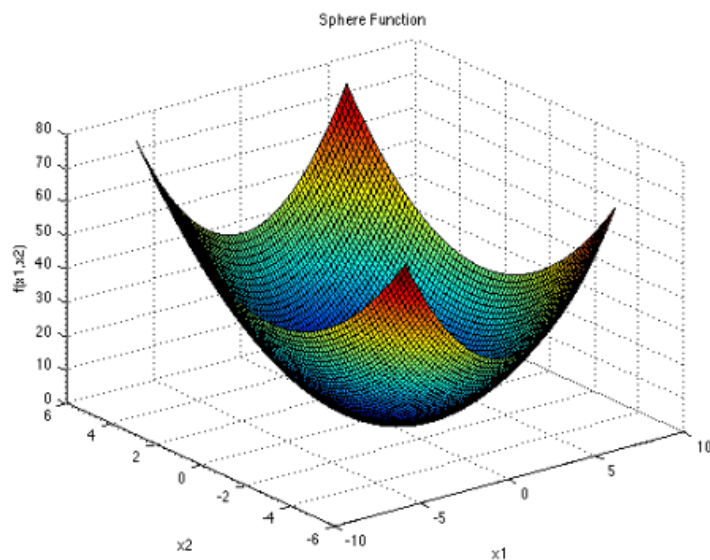
W dalszej cz  ci dokumentu rozr nienie poszczeg lnych tryb w wygl da nast pujco:

- tryb 1 - brak modyfikacji - sta a inercja r wna 0.72984
- tryb 2 - modyfikacja 1. inercja rosn a liniowo w czasie
- tryb 3 - modyfikacja 2. inercja malej a wraz z popraw  jako ci rozwizania.
- tryb 4 - modyfikacja 3. inercja malej a liniowo w czasie

2. Opis testw i funkcji

Testy dla algorytmu wykonaliśmy dla sześciu różnych funkcji dwuwymiarowych, tj. wielomianowej (sferycznej), Booth'a, Rosenbrocka, Ackley'a, Michalewicz'a oraz funkcji holder-table. Każdą z modyfikacji algorytmu szukaliśmy najlepszego rozwiązania dla każdej z powyższych funkcji. Po zakończonych testach dla każdej z funkcji analizowane były wyniki oraz porównywane ich efekty. Poniżej znajdują się wykresy tych funkcji:

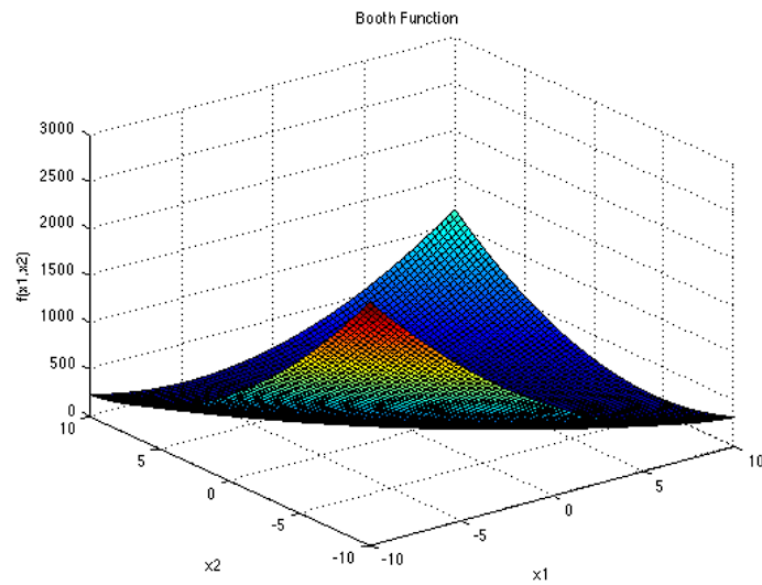
SPHERE FUNCTION



$$f(\mathbf{x}) = \sum_{i=1}^d x_i^2$$

Rys. 2.1: funkcja wielomianowa

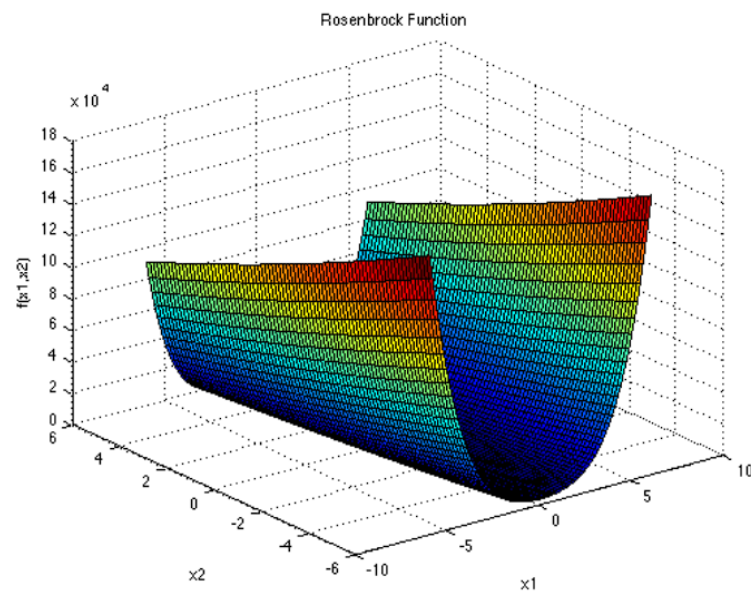
BOOTH FUNCTION



$$f(\mathbf{x}) = (x_1 + 2x_2 - 7)^2 + (2x_1 + x_2 - 5)^2$$

Rys. 2.2: funkcja Bootha

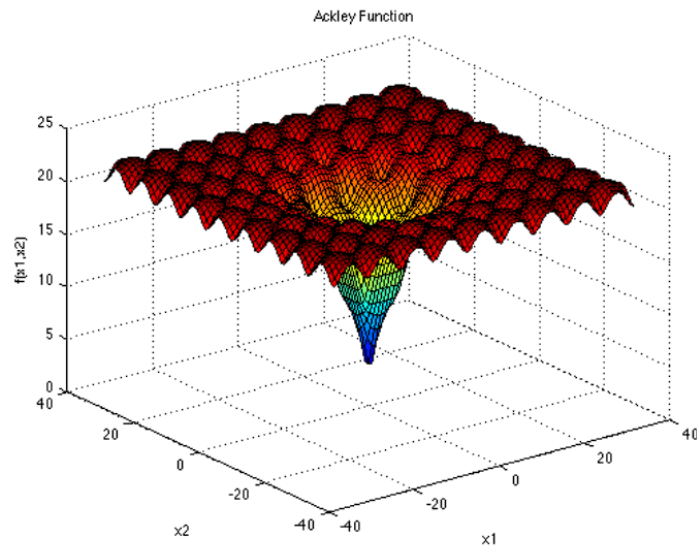
ROSENBROCK FUNCTION



$$f(\mathbf{x}) = \sum_{i=1}^{d-1} [100(x_{i+1} - x_i^2)^2 + (x_i - 1)^2]$$

Rys. 2.3: funkcja Rosenbrocka

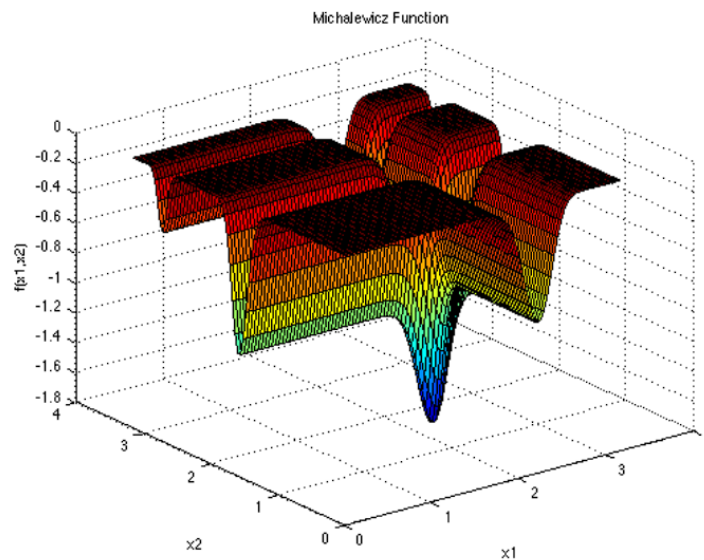
ACKLEY FUNCTION



$$f(\mathbf{x}) = -a \exp \left(-b \sqrt{\frac{1}{d} \sum_{i=1}^d x_i^2} \right) - \exp \left(\frac{1}{d} \sum_{i=1}^d \cos(cx_i) \right) + a + \exp(1)$$

Rys. 2.4: funkcja Ackley'a

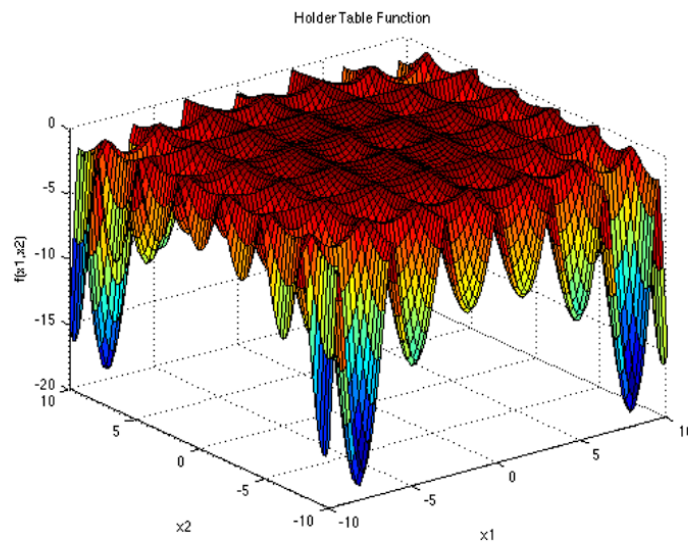
MICHALEWICZ FUNCTION



$$f(\mathbf{x}) = - \sum_{i=1}^d \sin(x_i) \sin^{2m} \left(\frac{\pi x_i^2}{\pi} \right)$$

Rys. 2.5: funkcja Michalewicza

HOLDER TABLE FUNCTION



$$f(\mathbf{x}) = - \left| \sin(x_1) \cos(x_2) \exp \left(\left| 1 - \frac{\sqrt{x_1^2 + x_2^2}}{\pi} \right| \right) \right|$$

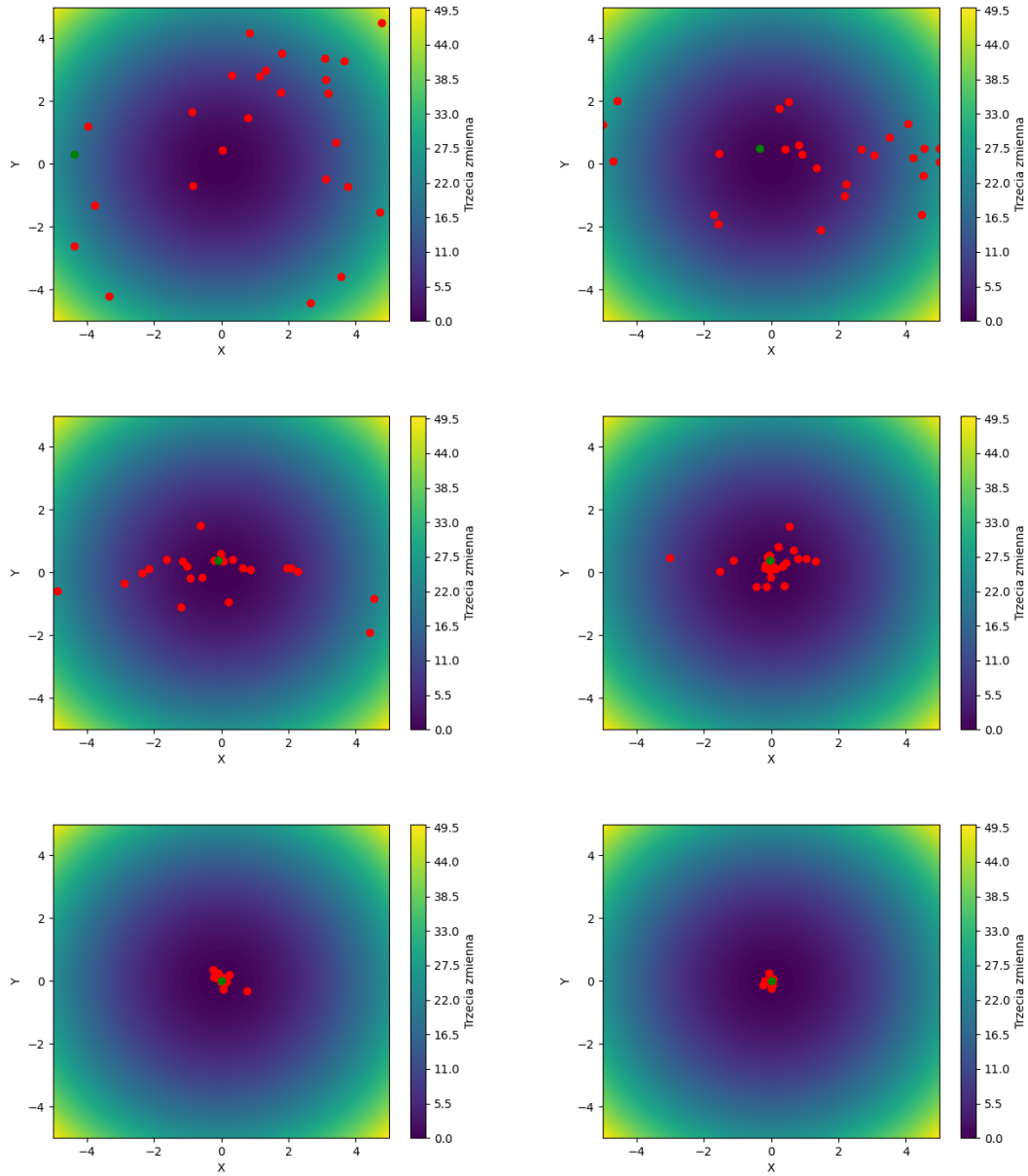
Rys. 2.6: funkcja Holder-Table

3. Przebiegi

Poniej zostaĆy przedstawione fragmenty wizualizacji przebiegów algorytmu w formie zrzutów wykresu funkcji z zaznaczonymi czsteczkami w danej iteracji (czerwone punkty) oraz najlepszego globalnego rozwizania z poprzedniej iteracji (zielony punkt).

W tabelach znajduj siŻ otrzymane wyniki naszych testw. Testy polegaĆy na uruchomieniu algorytmu w kaÅdym trybie i dla kaÅdej funkcji po 500 razy. Z powodu pojedynczych znacznych rozbieŹnoŹci miŻdzy wynikami naszych testw a oczekiwanymi wartoŹciami, postanowiliŹmy eliminowa 5% najgorszych rezultatw w celu uzyskania bardziej reprezentatywnych danych. PoniŹsze tabele zawieraj kolumnŹ przedstawiajc najgorszy uzyskany wynik, jednak pozostac analiza (miŻdzy innymi Źredni wynik) caĆkowicie pomija wyeliminowane wartoŹci.

3.1. Funkcja Wielomianowa

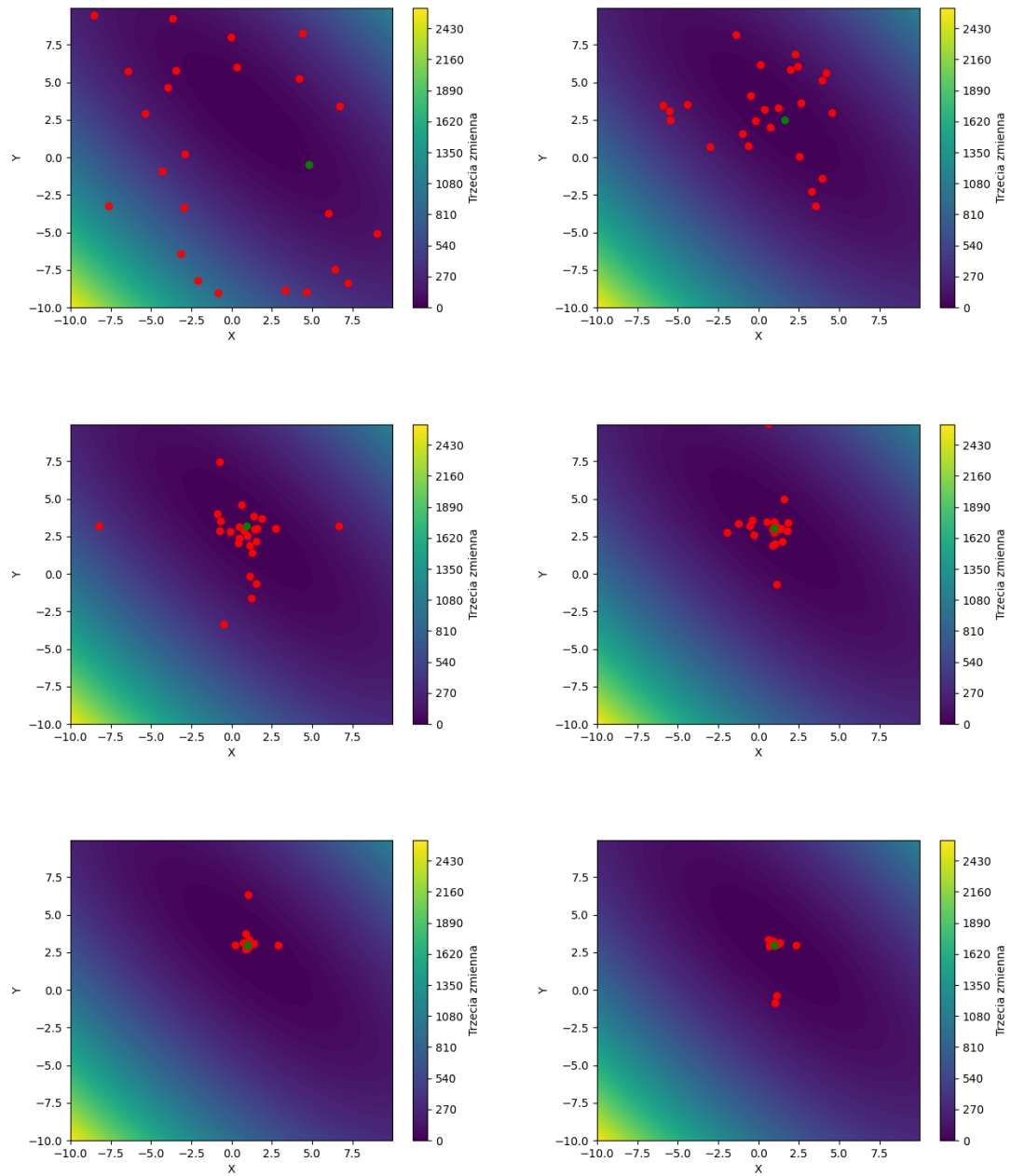


Dziedzina przeszukiwa = $[-5, 5]$. Optymalna wartość = 0, dla punktu $(0, 0)$.

Najlepszy	redni	Najgorszy	Odchylenie standardowe	Tryb
$3,36 \cdot 10^{-13}$	$3,18 \cdot 10^{-7}$	$1,7 \cdot 10^{-2}$	$5,17 \cdot 10^{-7}$	1
$1,19 \cdot 10^{-18}$	$2,35 \cdot 10^{-14}$	3,71	$3,40 \cdot 10^{-14}$	2
$8,02 \cdot 10^{-42}$	$4,59 \cdot 10^{-15}$	1,13	$2,09 \cdot 10^{-13}$	3
$9,92 \cdot 10^{-10}$	$1,83 \cdot 10^{-12}$	$8,26 \cdot 10^{-5}$	$3,03 \cdot 10^{-12}$	4

Tab. 3.1: Porównanie wyników dla funkcji wielomianowej w rnych trybach.

3.2. Booth

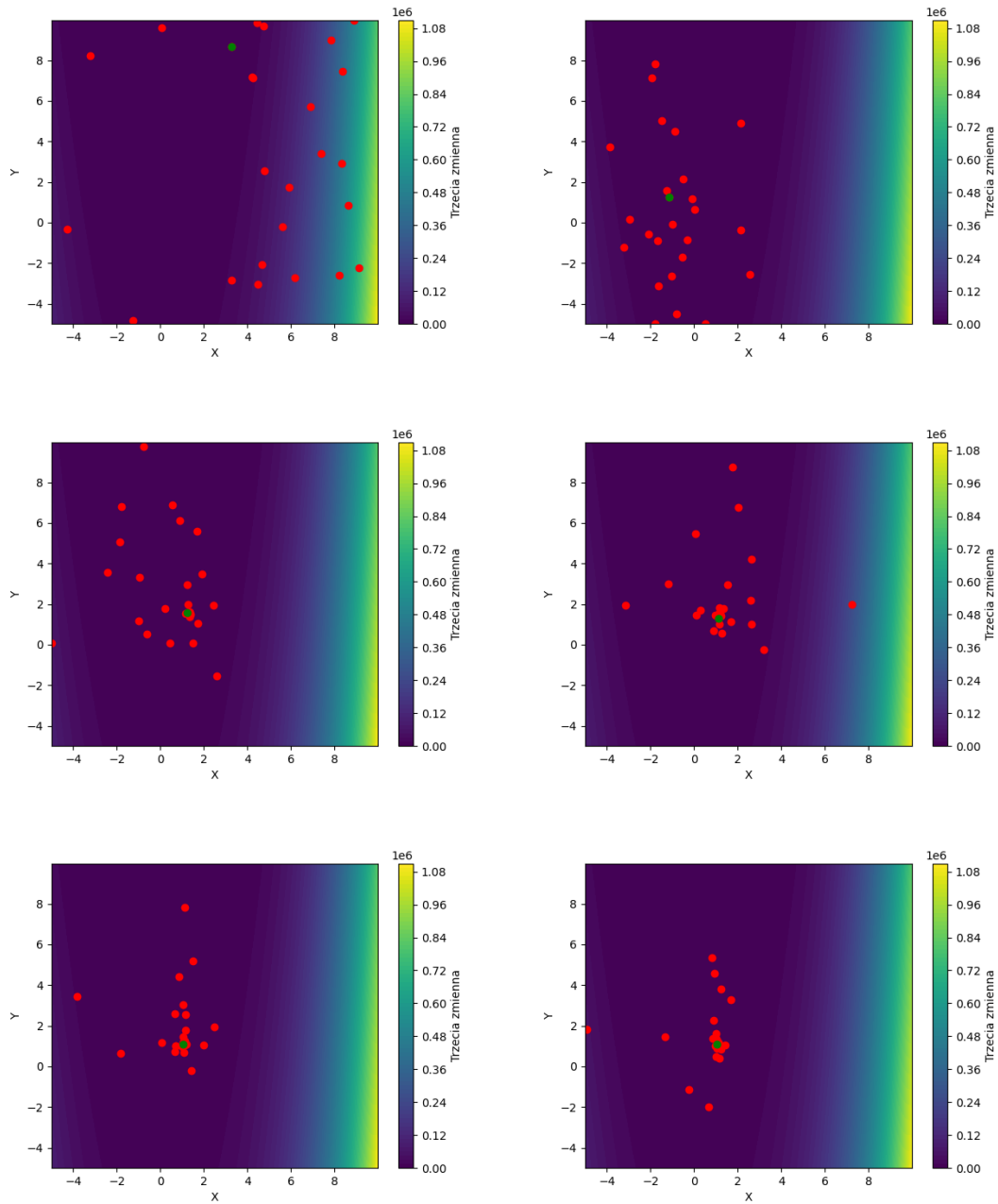


Dziedzina przeszukiwa = $[-10, 10]$. Optymalna wartość $\dot{Z} = 0$, dla punktu (1, 3).

Najlepszy	redni	Najgorszy	Odchylenie standardowe	Tryb
$2,01 \cdot 10^{-9}$	$3,29 \cdot 10^{-6}$	$1,00 \cdot 10^{-4}$	$5,51 \cdot 10^{-6}$	1
$5,81 \cdot 10^{-16}$	$8,97 \cdot 10^{-13}$	$5,25 \cdot 10^{-11}$	$1,43 \cdot 10^{-12}$	2
$3,32 \cdot 10^{-27}$	$1,02 \cdot 10^{-6}$	$1,91 \cdot 10^{-3}$	$6,14 \cdot 10^{-6}$	3
$3,00 \cdot 10^{-14}$	$6,84 \cdot 10^{-11}$	$3,54 \cdot 10^{-9}$	$9,27 \cdot 10^{-11}$	4

Tab. 3.2: Porównanie wyników dla funkcji Booth w rnych trybach.

3.3. Rosenbrock

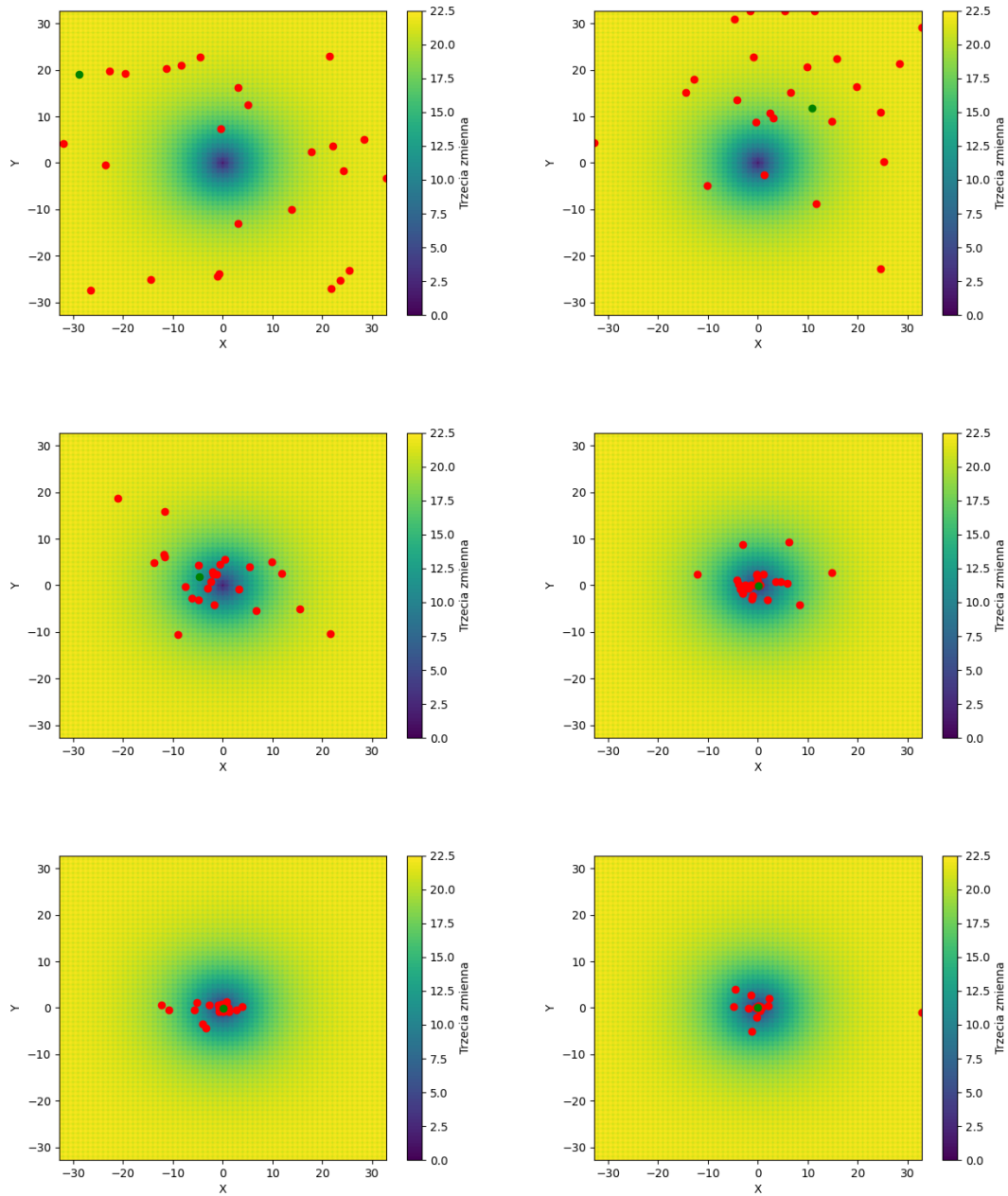


Dziedzina przeszukiwa = $[-5, 10]$. Optymalna wartość $\hat{Z} = 0$, dla punktu $(1, 1)$.

Najlepszy	redni	Najgorszy	Odchylenie standardowe	Tryb
$1,27 \cdot 10^{-7}$	$1,36 \cdot 10^{-2}$	$1,71 \cdot 10^1$	$3,59 \cdot 10^{-2}$	1
$6,81 \cdot 10^{-9}$	$2,35 \cdot 10^{-2}$	$1,74 \cdot 10^1$	$4,49 \cdot 10^{-2}$	2
$1,94 \cdot 10^{-8}$	$2,00 \cdot 10^{-2}$	5,89	$5,14 \cdot 10^{-2}$	3
$6,18 \cdot 10^{-9}$	$2,48 \cdot 10^{-2}$	$1,48 \cdot 10^1$	$1,23 \cdot 10^{-1}$	4

Tab. 3.3: Porównanie wyników dla funkcji Rosenbrock w rnych trybach.

3.4. Ackley

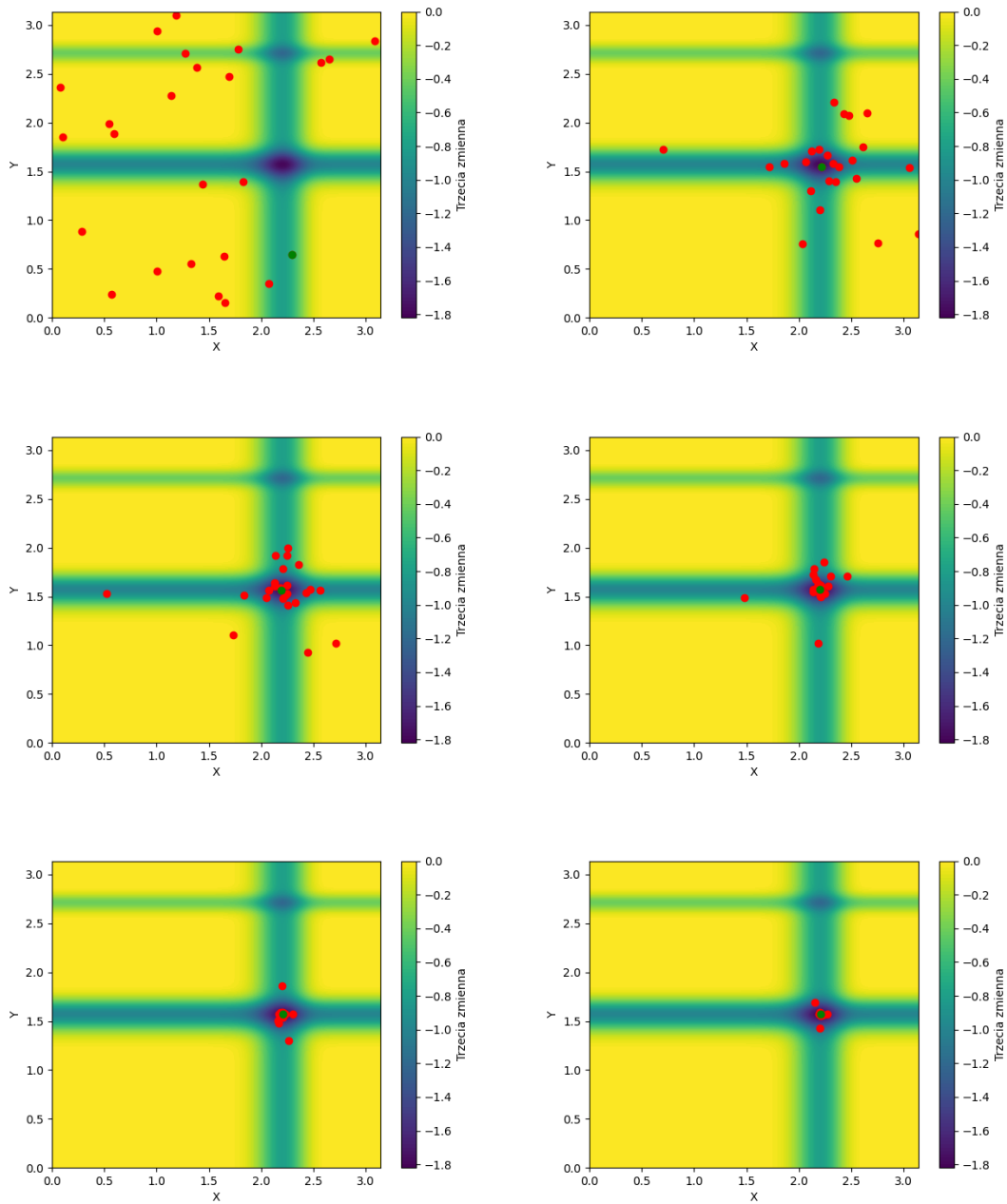


Dziedzina przeszukiwa = $[-32.768, 32.768]$. Optymalna wartość $\hat{Z} = 0$, dla punktu $(0, 0)$.

Najlepszy	redni	Najgorszy	Odchylenie standardowe	Tryb
$1,02 \cdot 10^{-4}$	$8,10 \cdot 10^{-3}$	$1,59 \cdot 10^1$	$7,54 \cdot 10^{-3}$	1
$2,78 \cdot 10^{-8}$	$1,95 \cdot 10^{-6}$	$1,36 \cdot 10^1$	$1,82 \cdot 10^{-6}$	2
$4,94 \cdot 10^{-13}$	$4,20 \cdot 10^{-6}$	$1,08 \cdot 10^{-2}$	$3,35 \cdot 10^{-5}$	3
$8,06 \cdot 10^{-7}$	$2,08 \cdot 10^{-5}$	$1,19 \cdot 10^1$	$1,88 \cdot 10^{-5}$	4

Tab. 3.4: Porównanie wyników dla funkcji Ackley w rnych trybach.

3.5. Michalewicz

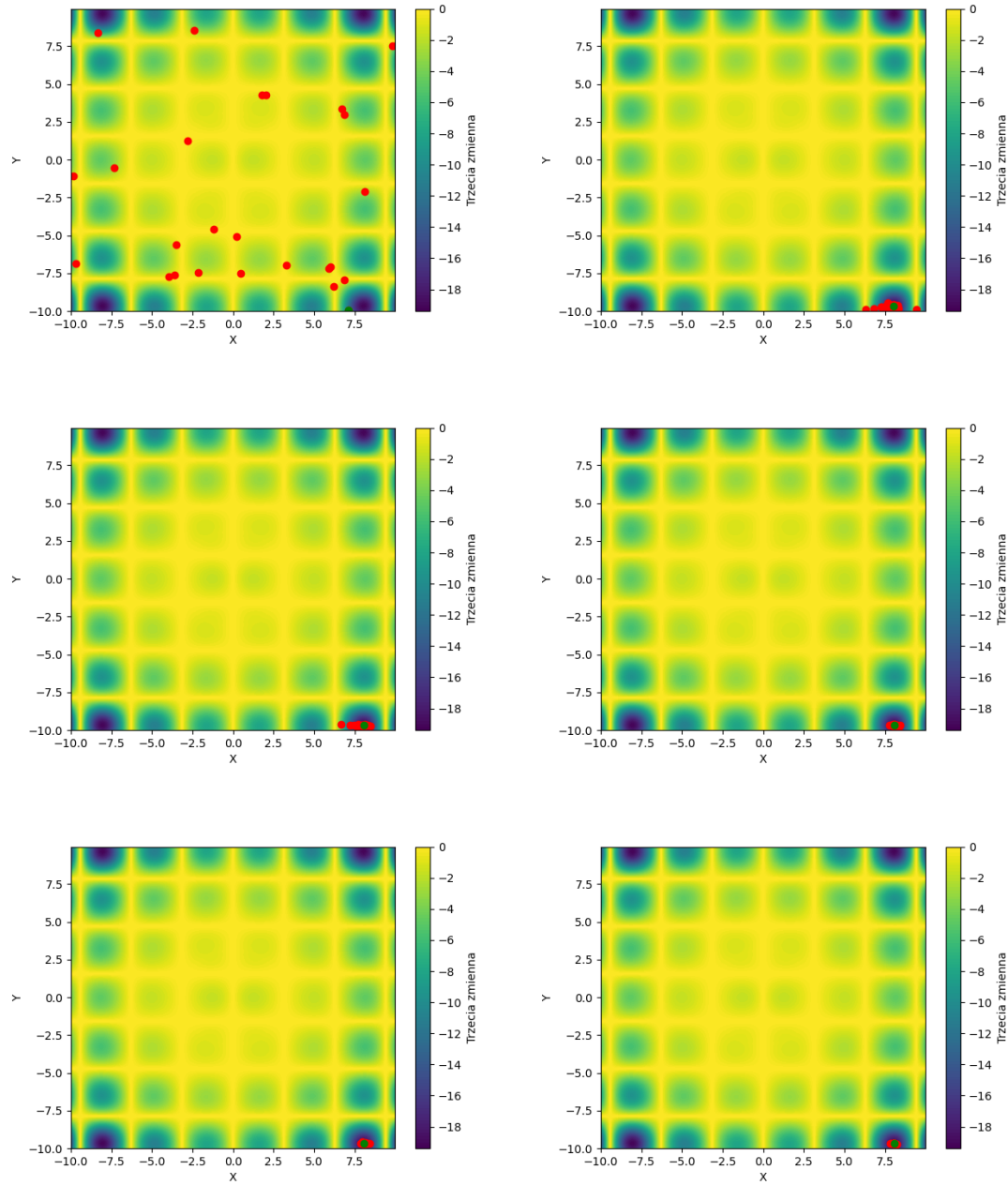


Dziedzina przeszukiwa = $[-0, \pi]$. Optymalna wartość = -1.8013, dla punktu (2.20, 1.57).

Najlepszy	redni	Najgorszy	Odchylenie standardowe	Tryb
-1.801303	-1.801294	-1.0	$5,81 \cdot 10^{-7}$	1
-1.801303	-1.801303	-1,0	$6,64 \cdot 10^{-13}$	2
-1.801303	-1.801303	-1.0	$1,52 \cdot 10^{-13}$	3
-1.801303	-1.801303	-1.0	$5,16 \cdot 10^{-12}$	4

Tab. 3.5: Porównanie wyników dla funkcji Michalewicz w rnych trybach.

3.6. Holder Table



Dziedzina przeszukiwa = $[-10, 10]$. Optymalna wartość = -19.2085, dla punktów: (8.05502, 9.66459), (-8.05502, 9.66459), (-8.05502, -9.66459).

Najlepszy	redni	Najgorszy	Odchylenie standardowe	Tryb
-19.2085	-18.8182	-15.14	$5,38 \cdot 10^{-1}$	1
-19.2085	-19.2085	-11.0695	$1,09 \cdot 10^{-1}$	2
-19.2085	-18.9600	-16.27	$4,81 \cdot 10^{-1}$	3
-19.2085	-18.8305	-15.14	$5,49 \cdot 10^{-1}$	4

Tab. 3.6: Porównanie wyników dla funkcji Holder Table w różnych trybach.

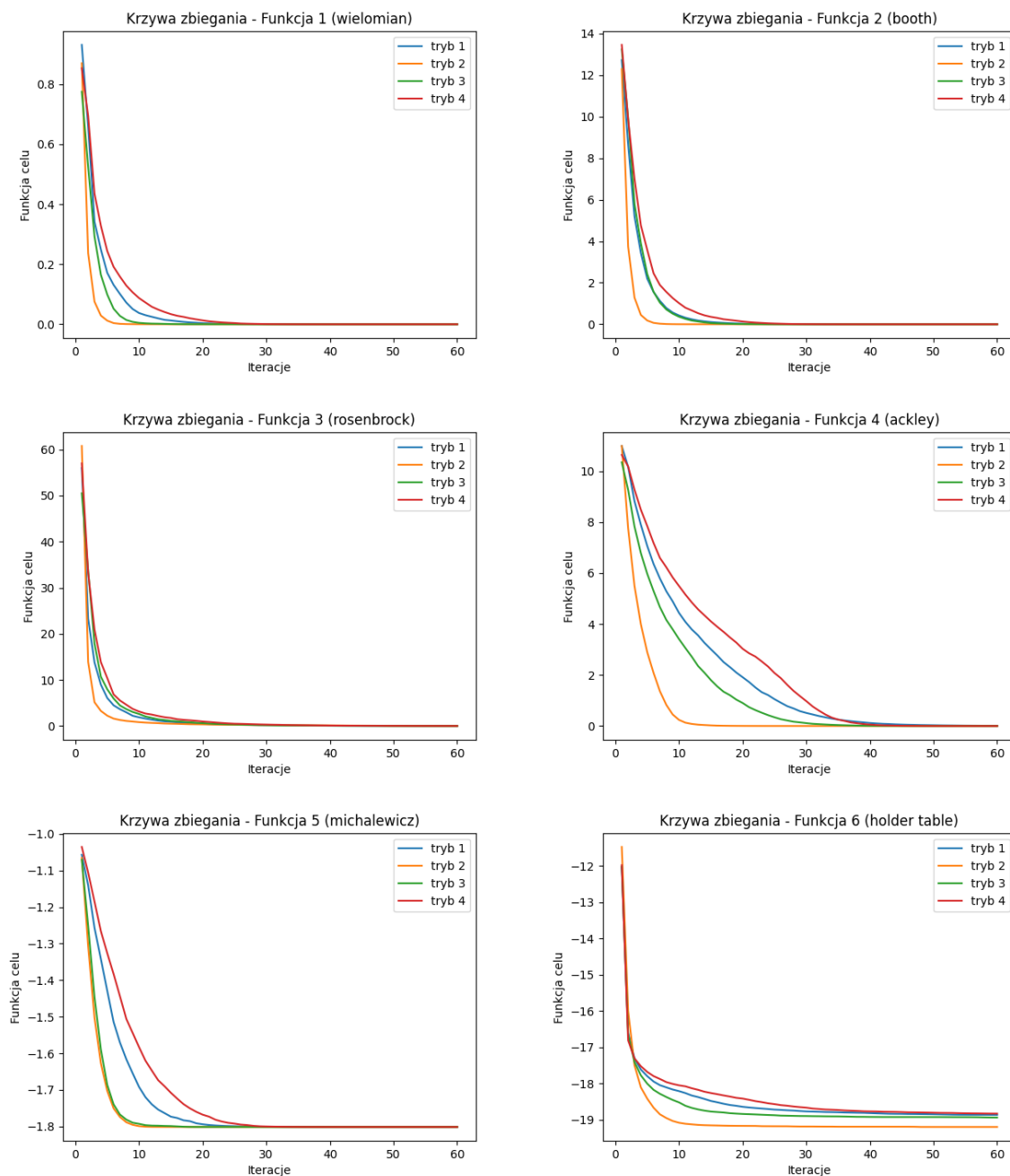
Analiza powyższych wyników pozwala stwierdzić, że najbliższemu oczekiwanej wartości uzyskiwać zazwyczaj algorytm działający w trybie 3. Jednak najbliższy oczekiwanej wartości średni wynik

miał algorytm działający w trybie 2. Oznacza to, że tryb 3 pozwala na większą eksploatację przestrzeni przeszukiwa, jednak to trybowi 2 udało się częściej znaleźć optimum.

4. Analiza wyników

4.1. Krzywe zbliżenia

Poniżej graficzne przedstawienie zmian wartości funkcji celu w kolejnych iteracjach, ilustrujące proces dążenia do minimum optymalnej wartości przez algorytm.

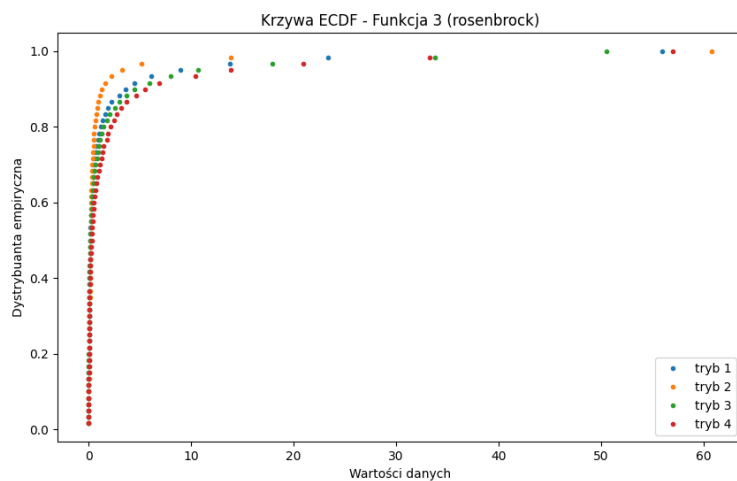
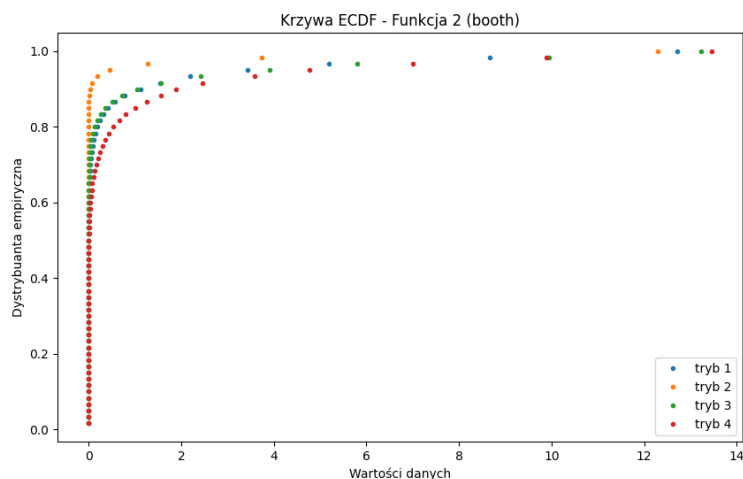
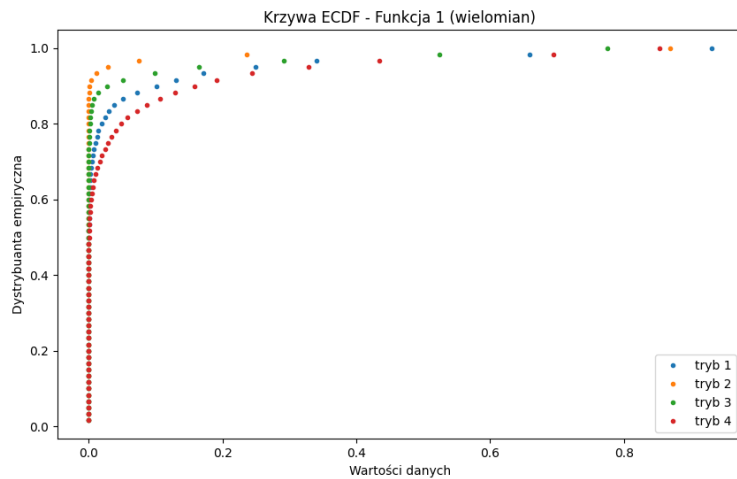


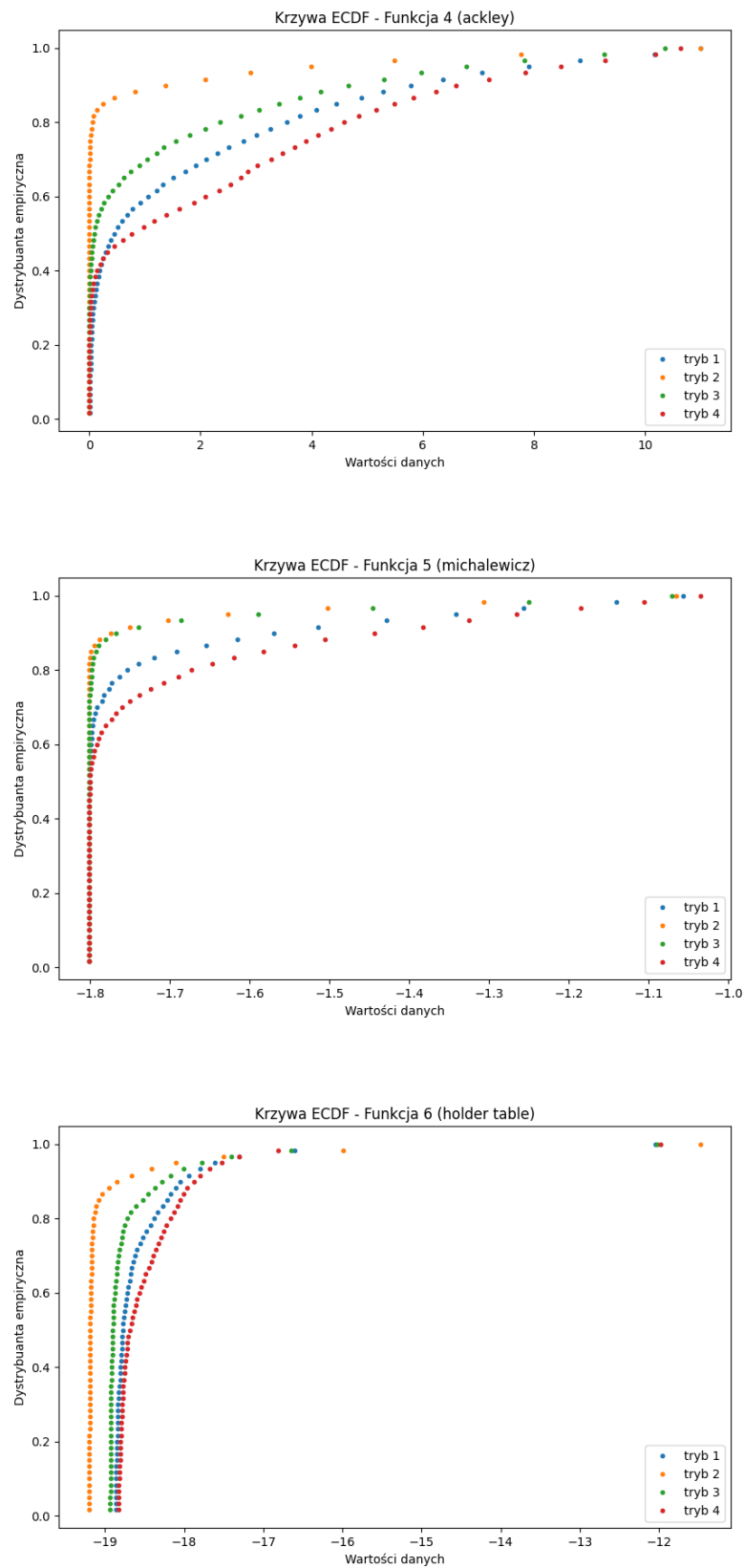
Rys. 4.1: Krzywe zbliżenia

Powysze wykresy pozwalają nam z pewnością zauważyć, że najszybciej funkcja celu dociera do optimum w algorytmie z trybem 2. W przypadku funkcji nr 6 (Holder Table) widzimy ciekawe zjawisko, ponieważ tylko algorytm z trybem nr 2 skutecznie odnajduje optimum. Pozostałe tryby miałyby problem, aby zawsze znaleźć minimum funkcji. Prawdopodobnie spowodowane jest to sposobem obszaru ograniczeń, jakim jest rzutowanie. Ponieważ Holder Table to jedyna funkcja, która posiada swoje optimum w pobliżu granicy swojej dziedziny, rzutowanie może zaburzać proces eksploatacji przestrzeni wokół minimum.

4.2. Krzywe ECDF

Krzywa empirycznej dystrybuanty skumulowanej (ECDF) to graficzna reprezentacja empirycznego rozkładu danych, przedstawiająca procentowy udział wartości w próbie, które są mniejsze lub równe danej wartości.

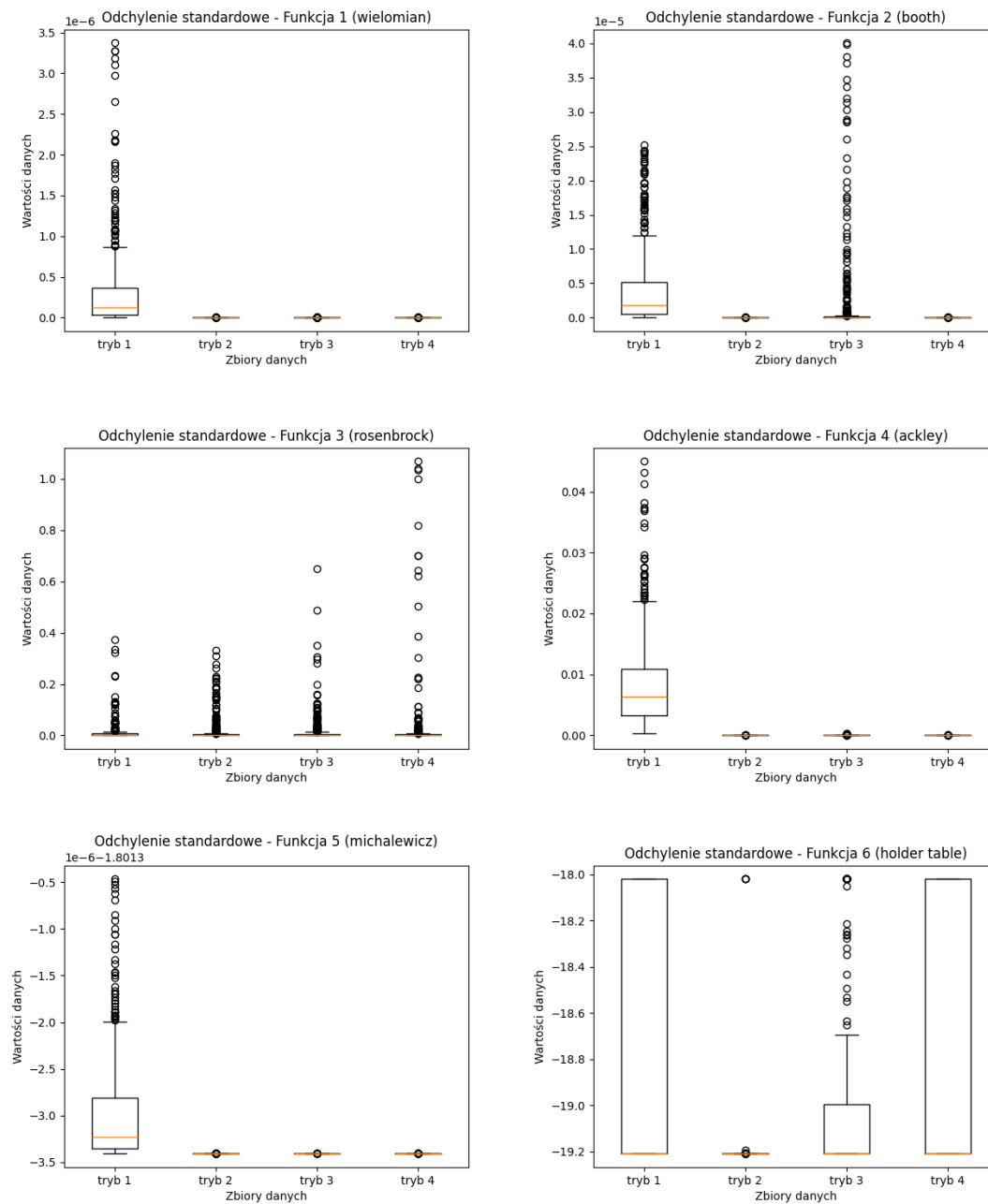




Rys. 4.3: Krzywe ECDF

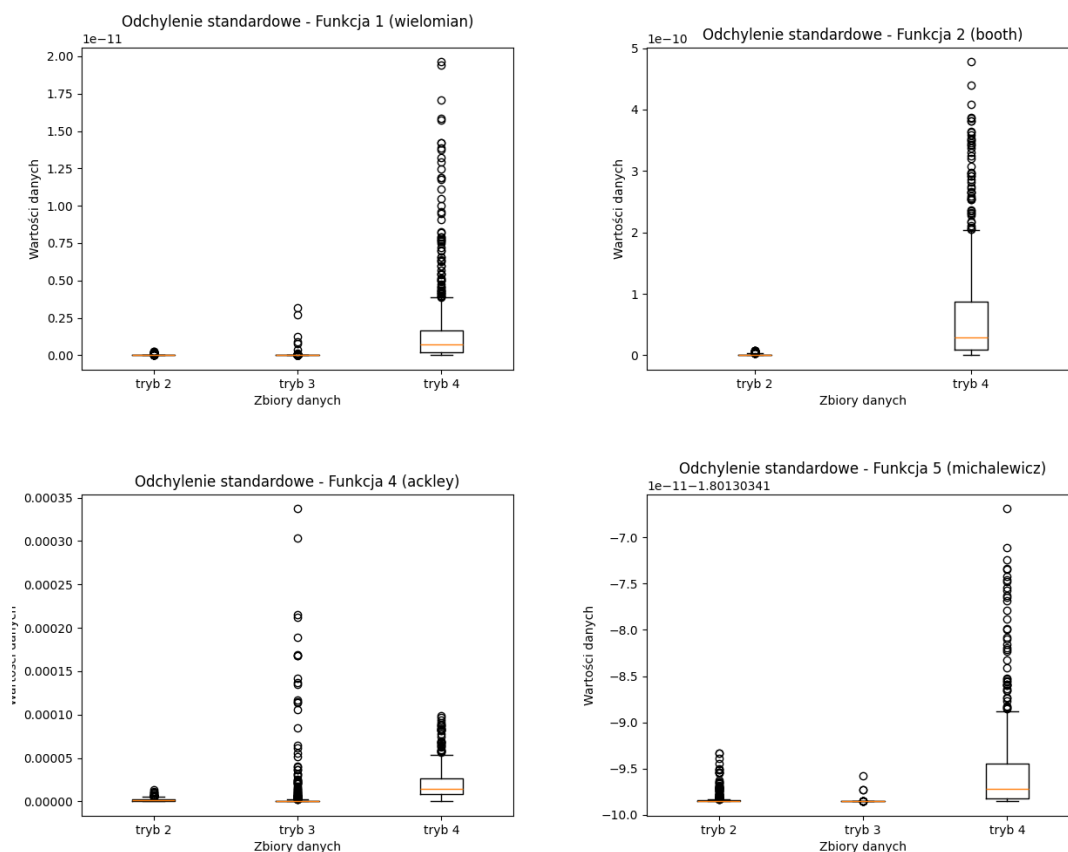
4.3. Wykresy pudełkowe

Wykresy pudełkowe graficznie przedstawiają rozkład danych, prezentując kwartyle, medianę i zakres interkwartylowy, co umożliwia analizę skupienia oraz rozproszenia wartości w zbiorze.



Rys. 4.4: Wykresy pudełkowe

Wykresy pudełkowe dla funkcji, dla których z powyższego wykresu nie da się wybrać najlepszego trybu.



Rys. 4.5: Wykresy pudełkowe

Na powyższych wykresach pudełkowych ponownie widzimy, że najlepiej radzi sobie algorytm w trybie 2, ponieważ zwykle posiada najmniej wyników odbiegających znacząco od optimum.

5. Wysze wymiary

Dla lepszej oceny jakości modyfikacji algorytmu PSO przeprowadziliśmy również analizę dla funkcji o wyższych wymiarach. Przetestowane zostały 5 oraz 10 wymiarowe funkcje: wielomianowa, Rosenbrocka, Ackley'a i Michalewicz'a.

5.1. 5 wymiarów

Przeprowadzono 300 testów z maksymalną liczbą iteracji równą 100.

Funkcja wielomianowa

Dziedzina przeszukiwana $x_i \in [-5, 5]$, dla $i = 1, \dots, 5$.
Optimum = 0, dla punktu $x = (0, \dots, 0)$.

Najlepszy	średni	Najgorszy	Odchylenie standardowe	Tryb
$5,46 \cdot 10^{-9}$	$4,57 \cdot 10^{-1}$	$1,62 \cdot 10^1$	1,5651	1
$2,91 \cdot 10^{-17}$	2,4692	$2,45 \cdot 10^1$	4,3228	2
$1,57 \cdot 10^{-8}$	$7,91 \cdot 10^{-1}$	$1,78 \cdot 10^1$	1,9681	3
$1,99 \cdot 10^{-16}$	$6,23 \cdot 10^{-1}$	$2,01 \cdot 10^1$	1,7849	4

Tab. 5.1: Porównanie wyników dla funkcji wielomianowej w 5 wymiarach w różnych trybach.

Funkcja Rosenbrock

Dziedzina przeszukiwana $x_i \in [-5, 10]$, dla $i = 1, \dots, 5$.
Optimum = 0, dla punktu $x = (1, \dots, 1)$.

Najlepszy	średni	Najgorszy	Odchylenie standardowe	Tryb
$1,57 \cdot 10^{-4}$	$8,40 \cdot 10^2$	$3,87 \cdot 10^4$	$1,79 \cdot 10^3$	1
$9,78 \cdot 10^{-4}$	$3,46 \cdot 10^3$	$6,10 \cdot 10^4$	$6,18 \cdot 10^3$	2
$9,45 \cdot 10^{-2}$	$5,28 \cdot 10^2$	$4,46 \cdot 10^4$	$1,25 \cdot 10^3$	3
$6,62 \cdot 10^{-2}$	$8,96 \cdot 10^2$	$5,63 \cdot 10^4$	$2,09 \cdot 10^3$	4

Tab. 5.2: Porównanie wyników dla funkcji Rosenbrock w 5 wymiarach w różnych trybach.

Funkcja Ackley'a

Dziedzina przeszukiwana $x_i \in [-32.768, 32.768]$, dla $i = 1, \dots, 5$.
Optimum = 0, dla punktu $x = (0, \dots, 0)$.

Najlepszy	średni	Najgorszy	Odchylenie standardowe	Tryb
$1,51 \cdot 10^{-3}$	1,6962	$1,98 \cdot 10^1$	4,8387	1
$7,31 \cdot 10^{-8}$	3,4348	$2,00 \cdot 10^1$	5,9962	2
$9,48 \cdot 10^{-5}$	2,2039	$1,97 \cdot 10^1$	5,2112	3
$2,34 \cdot 10^{-7}$	1,5420	$2,00 \cdot 10^1$	4,5194	4

Tab. 5.3: Porównanie wyników dla funkcji Ackley w 5 wymiarach w różnych trybach.

Funkcja Michalewicz'a

Dziedzina przeszukiwa $x_i \in [0, \pi]$, dla $i = 1, \dots, 5$.

Optimum = -4,687658

Najlepszy	redni	Najgorszy	Odchylenie standardowe	Tryb
-4,687 651	-4,2958	-2,8558	$3,69 \cdot 10^{-1}$	1
-4,687 658	-4,2951	-2,9479	$3,52 \cdot 10^{-1}$	2
-4,687 658	-4,2465	-2,5714	$3,74 \cdot 10^{-1}$	3
-4,687 658	-4,1932	-2,6571	$3,99 \cdot 10^{-1}$	4

Tab. 5.4: Porównanie wyników dla funkcji Michalewicz w 5 wymiarach w różnych trybach.

5.2. 10 wymiarów

Przeprowadzono 300 testów z maksymalną liczbą iteracji równo 200.

Funkcja wielomianowa

Dziedzina przeszukiwa $x_i \in [-5, 5]$, dla $i = 1, \dots, 5$.

Optimum = 0, dla punktu $x = (0, \dots, 0)$.

Najlepszy	redni	Najgorszy	Odchylenie standardowe	Tryb
$3,94 \cdot 10^{-10}$	$1,84 \cdot 10^1$	$6,55 \cdot 10^1$	$1,66 \cdot 10^1$	1
$7,97 \cdot 10^{-5}$	$2,63 \cdot 10^1$	$5,81 \cdot 10^1$	$1,73 \cdot 10^1$	2
$1,60 \cdot 10^{-3}$	$1,57 \cdot 10^1$	$5,75 \cdot 10^1$	$1,55 \cdot 10^1$	3
$3,25 \cdot 10^{-13}$	$1,75 \cdot 10^1$	$5,62 \cdot 10^1$	$1,55 \cdot 10^1$	4

Tab. 5.5: Porównanie wyników dla funkcji wielomianowej w 5 wymiarach w różnych trybach.

Funkcja Rosenbrock

Dziedzina przeszukiwa $x_i \in [-5, 10]$, dla $i = 1, \dots, 5$.

Optimum = 0, dla punktu $x = (1, \dots, 1)$.

Najlepszy	redni	Najgorszy	Odchylenie standardowe	Tryb
$3,56 \cdot 10^{-1}$	$6,17 \cdot 10^4$	$4,27 \cdot 10^5$	$6,99 \cdot 10^4$	1
4,5778	$8,78 \cdot 10^4$	$5,14 \cdot 10^5$	$7,80 \cdot 10^4$	2
3,3961	$4,63 \cdot 10^4$	$3,52 \cdot 10^5$	$5,52 \cdot 10^4$	3
$4,08 \cdot 10^{-1}$	$5,80 \cdot 10^4$	$5,46 \cdot 10^5$	$5,86 \cdot 10^4$	4

Tab. 5.6: Porównanie wyników dla funkcji Rosenbrock w 5 wymiarach w różnych trybach.

Funkcja Ackley'a

Dziedzina przeszukiwa $x_i \in [-32.768, 32.768]$, dla $i = 1, \dots, 5$.

Optimum = 0, dla punktu $x = (0, \dots, 0)$.

Najlepszy	redni	Najgorszy	Odchylenie standardowe	Tryb
$1,79 \cdot 10^{-4}$	5,9385	$2,06 \cdot 10^1$	8,8042	1
1,6462	$1,17 \cdot 10^1$	$2,08 \cdot 10^1$	6,1319	2
$1,09 \cdot 10^{-1}$	9,4832	$2,07 \cdot 10^1$	7,9143	3
$1,86 \cdot 10^{-6}$	7,0258	$2,05 \cdot 10^1$	8,7486	4

Tab. 5.7: Porównanie wyników dla funkcji Ackley w 5 wymiarach w różnych trybach.

Funkcja Michalewicz'a

Dziedzina przeszukiwa $x_i \in [0, \pi]$, dla $i = 1, \dots, 5$.
Optimum = -9,66015.

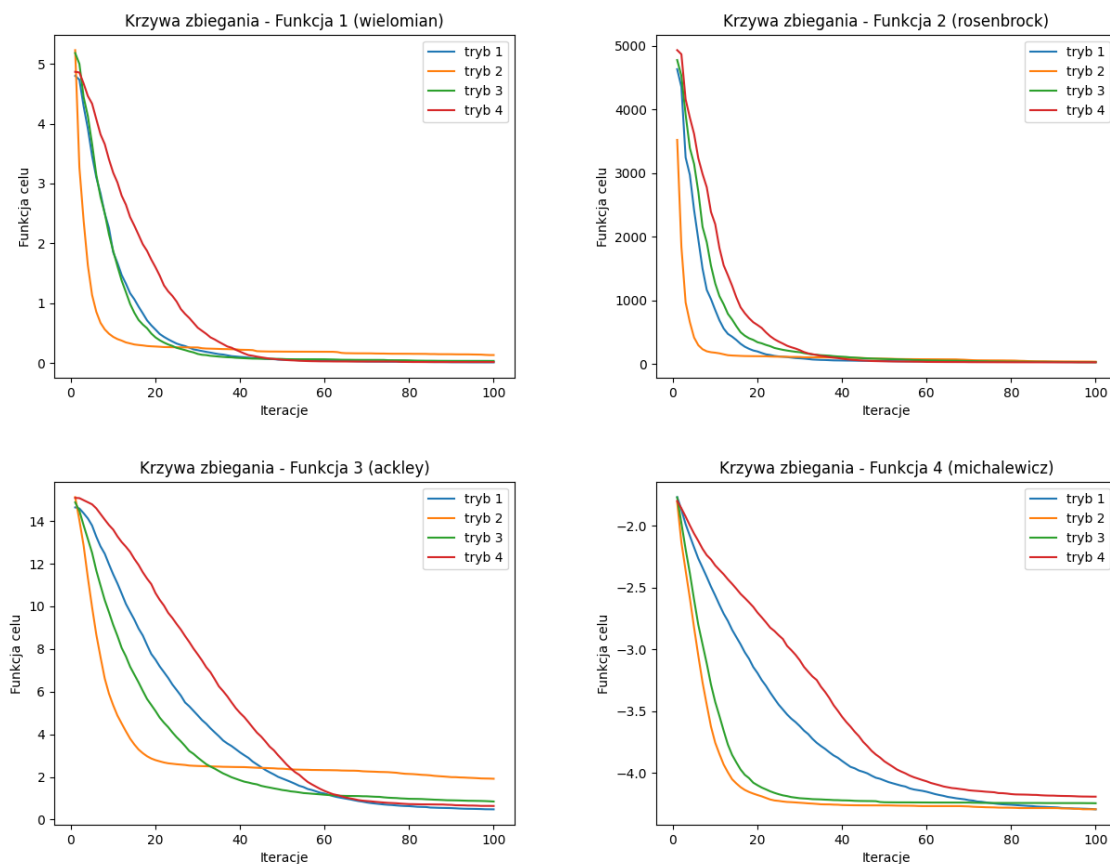
Najlepszy	redni	Najgorszy	Odchylenie standardowe	Tryb
-9,386 64	-7,5271	-5,2036	$7,69 \cdot 10^{-1}$	1
-9,369 41	-7,4807	-5,2040	$7,82 \cdot 10^{-1}$	2
-9,420 70	-7,3826	-5,2202	$7,68 \cdot 10^{-1}$	3
-9,269 42	-7,0662	-4,8317	$7,98 \cdot 10^{-1}$	4

Tab. 5.8: Porównanie wyników dla funkcji Michalewicz w 5 wymiarach w różnych trybach.

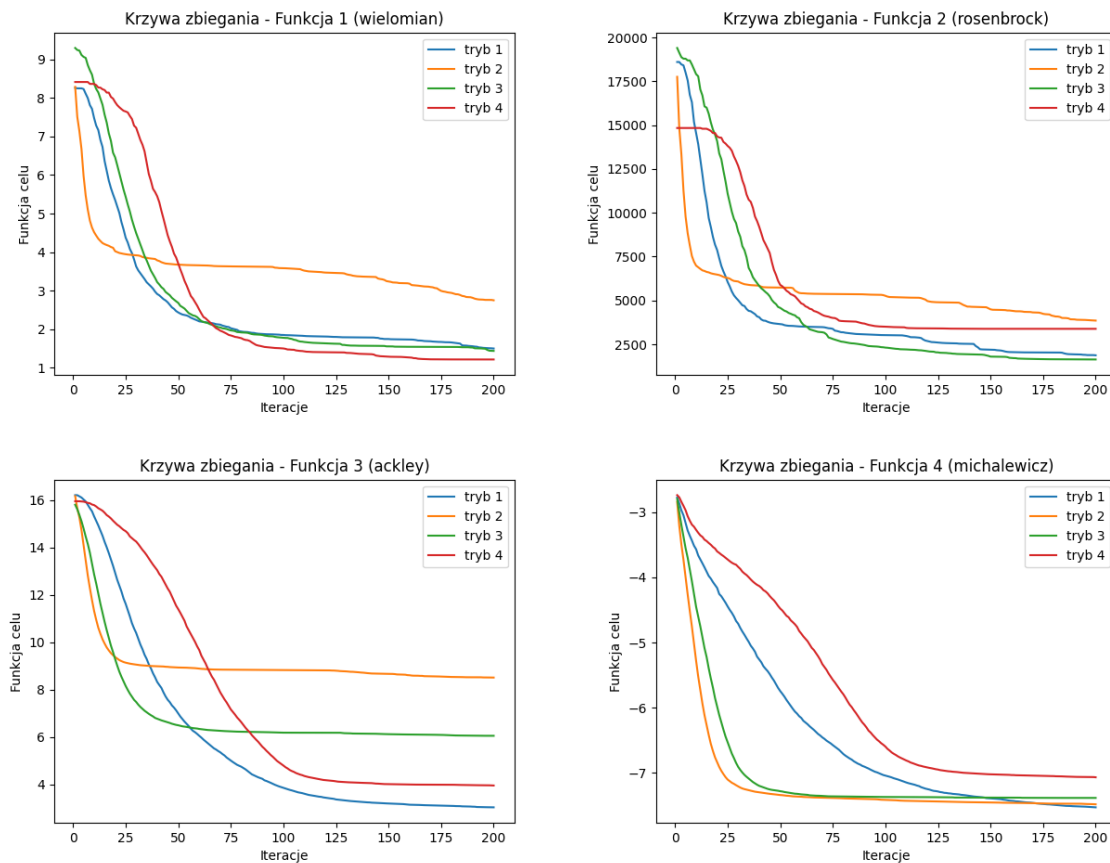
Widzimy, że dla większej ilości wymiarów algorytm radzi sobie znacznie gorzej niż dla dwuwymiarowych funkcji. Nawet najlepsze wyniki dla różnych trybów odbiegają potrafi znacząco od wartości minimalnej funkcji. Żadna z modyfikacji nie wysuwa się na prowadzenie biorąc pod uwagę dokładność wyniku optymalizacji oraz średnie wyniki.

5.3. Analiza wyników

5.3.1. Krzywe zbliżenia



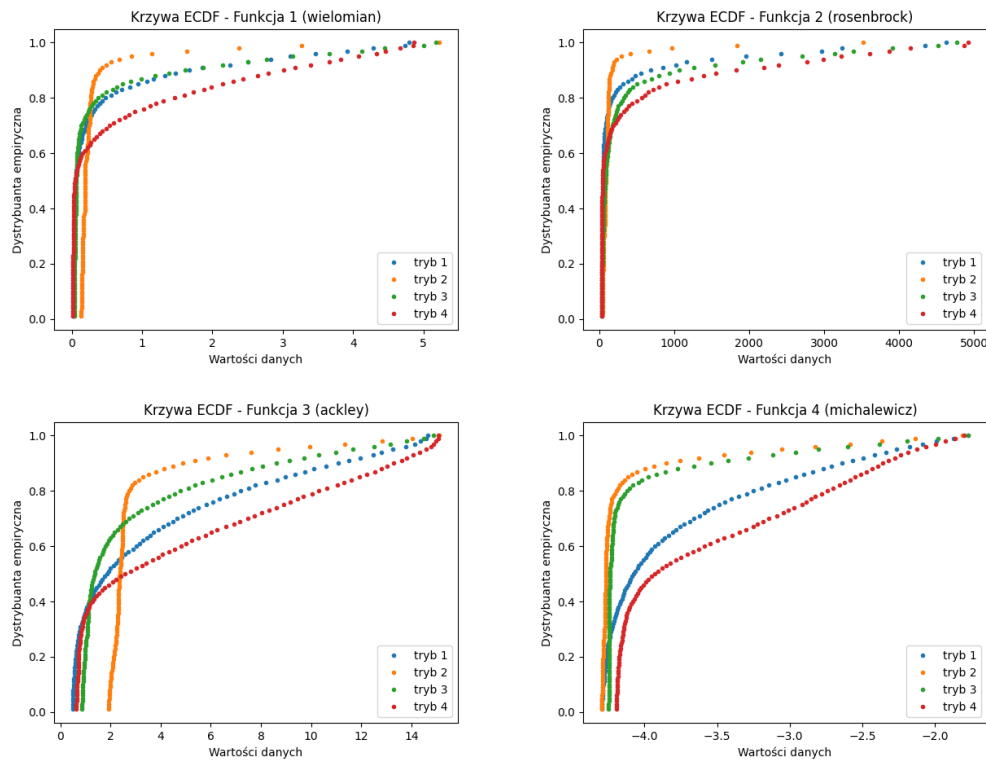
Rys. 5.1: Krzywe zbliżenia - 5 wymiarowe



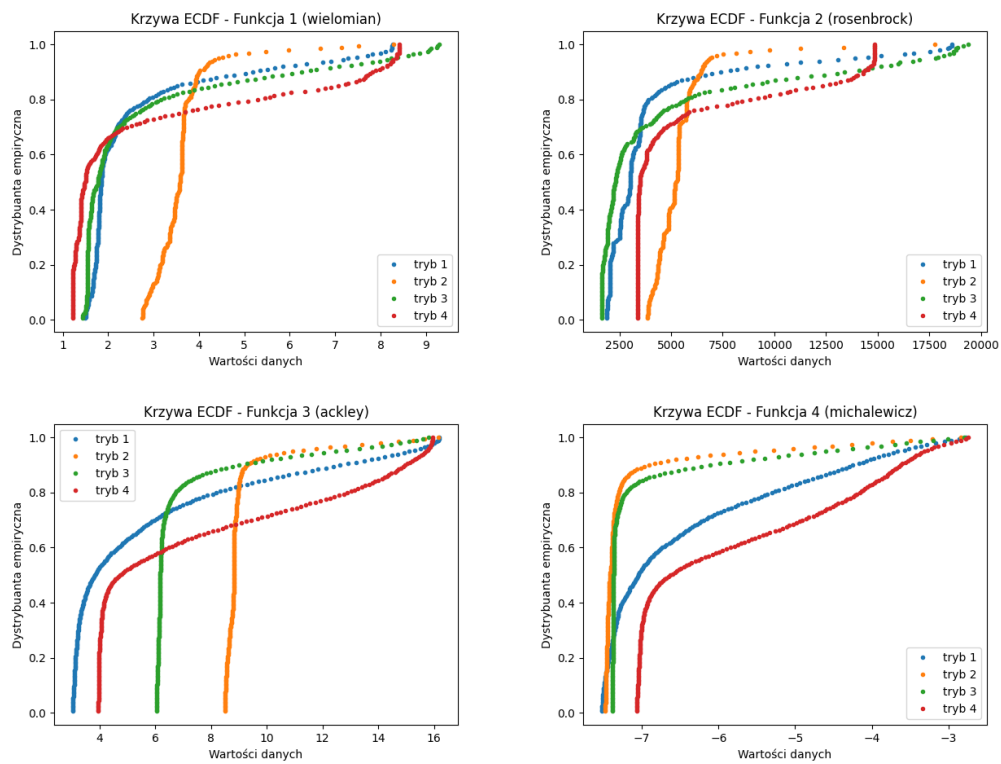
Rys. 5.2: Krzywe zbienoŹci - 10 wymiarowe

Powysze wyniki pokazuj, e dla wyszych wymiarw dobr modyfikacji nie jest ju tak oczywisty jak dla dwuwymiarowych funkcji. W wiŹkszoŹci przypadkw tryb nr 2 okazuje siŹ by pocztkowo najszybszym algorytmem, ale zwykle nie zbliajcym siŹ w dalszych iteracjach do optimum, zostajc daleko w tyle za pozostaŹcymi modyfikacjami. Z tego powodu z powyszych krzywych zbienoŹci ciŹko jest wskaza najlepsz modyfikacjŹ.

5.3.2. Krzywe ECDF

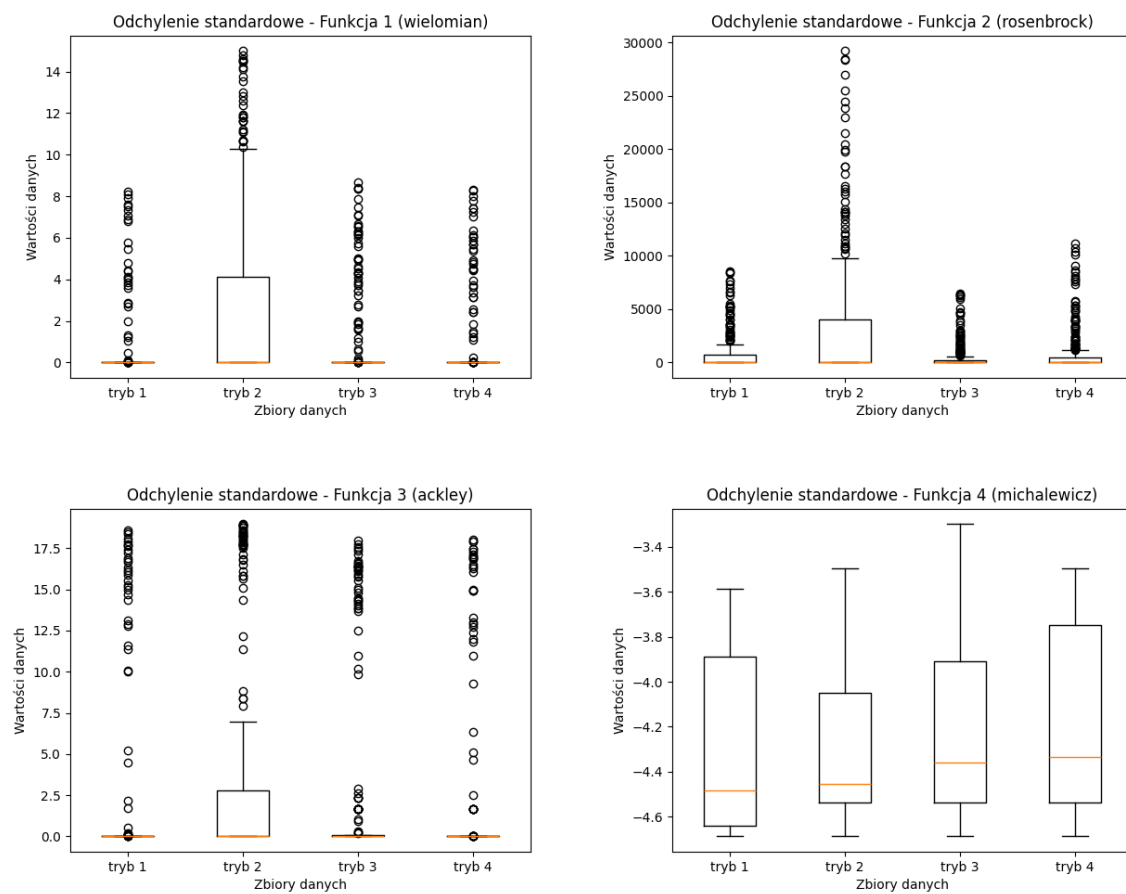


Rys. 5.3: Krzywe ECDF - 5 wymiarowe

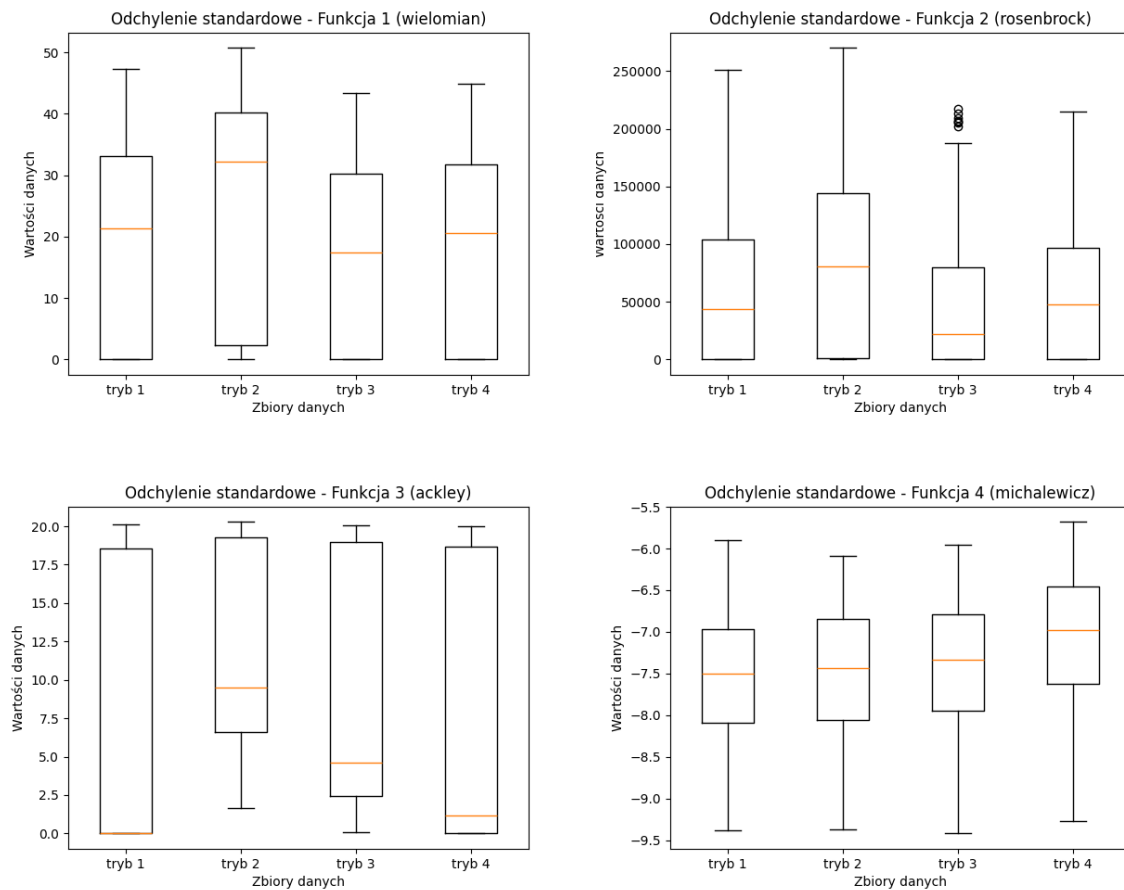


Rys. 5.4: Krzywe ECDF - 10 wymiarowe

5.3.3. Wykresy pudełkowe



Rys. 5.5: Wykresy pudełkowe - 5 wymiarowe



Rys. 5.6: Wykresy pudełkowe - 10 wymiarowe

Powyżej widzimy, jak zwiększenie wymiarów spowodowało trudności z znalezieniem optimum pomimo znacznego zwiększenia czasu iteracji. Wykresy pudełkowe również nie wskazują, by która z modyfikacji dawała lepsze rezultaty niż pozostałe.

6. Podsumowanie

6.1. Porównania tabelaryczne

Poniej oceniany jest każdy tryb w rnych kategoriach w skali od 1 - najlepszy, do 4 - najgorszy

6.1.1. Najlepszy wynik

	2 wymiary						5 wymiarw				10 wymiarw				Źrednia ranga
	F1	F2	F3	F4	F5	F6	F1	F2	F3	F4	F1	F2	F3	F4	
tryb 1	3	4	4	4	2.5	2.5	3	1	4	4	2	1	2	2	2.786
tryb 2	2	2	2	2	2.5	2.5	1	2	1	2	3	4	4	3	2.357
tryb 3	1	1	3	1	2.5	2.5	4	4	3	2	4	3	3	1	2.5
tryb 4	4	3	1	3	2.5	2.5	2	3	2	2	1	2	1	4	2.357

6.1.2. Najlepsza Źrednia

	2 wymiary						5 wymiarw				10 wymiarw				Źrednia ranga
	F1	F2	F3	F4	F5	F6	F1	F2	F3	F4	F1	F2	F3	F4	
tryb 1	4	4	1	4	4	4	1	3	2	1	3	3	1	1	2,571
tryb 2	2	1	3	1	2	1	4	2	4	2	4	4	4	2	2,571
tryb 3	1	3	2	2	2	2	3	1	3	3	1	1	3	3	2,143
tryb 4	3	2	4	3	2	3	2	4	1	4	2	2	2	4	2,714

6.1.3. Krzywe zbienoŹci

	2 wymiary						5 wymiarw				10 wymiarw				Źrednia ranga
	F1	F2	F3	F4	F5	F6	F1	F2	F3	F4	F1	F2	F3	F4	
tryb 1	3	2.5	2	3	3	3	2.5	2	2.5	2.5	2.5	2.5	2.5	2	2.536
tryb 2	1	1	1	1	1.5	1	2.5	1	2.5	1	2.5	2.5	2.5	2	1.643
tryb 3	2	2.5	3	2	1.5	2	2.5	3	2.5	2.5	2.5	2.5	2.5	2	2.357
tryb 4	4	4	4	4	4	4	2.5	4	2.5	4	2.5	2.5	2.5	4	3.464

6.1.4. Wykresy pudeĆkowe

	2 wymiary						5 wymiarw				10 wymiarw				Źrednia ranga
	F1	F2	F3	F4	F5	F6	F1	F2	F3	F4	F1	F2	F3	F4	
tryb 1	4	4	2	4	4	3.5	2	3	1.5	1	3	2.5	1	1.5	2,643
tryb 2	1	1	1	1	2	1	4	4	4	2	4	4	4	1.5	2,464
tryb 3	2	3	3	2	1	2	2	1	3	4	1	1	3	3	2,214
tryb 4	3	2	4	3	3	3.5	2	2	1.5	3	2	2.5	2	4	2,679

6.1.5. Sumacyjne wyniki

modyfikacja	suma z \bar{Z} rednich rang	ostateczna ranga
tryb 1	2.63	3
tryb 2	2.26	1
tryb 3	2.30	2
tryb 4	2.80	4

6.2. Podsumowanie

Wyniki przeprowadzonych przez nas testów wskazują dwóch faworytów. S to modyfikacja druga - współczynnik zwiększający swoją wartość z czasem trwania programu oraz modyfikacja trzecia, czyli współczynnik zależny od jakości rozwiązania. Druga modyfikacja była zdecydowanie najszybsza w większości testów, zazwyczaj najszybciej znajdowała rozwiązanie w sąsiedztwie optimum, co szczególnie widać na krzywych zbliżenia. Modyfikacja trzecia za to najczęściej zwracała wynik w najmniejszym otoczeniu założonego optimum - rezultaty tej modyfikacji były najdokładniejsze. Działanie to jednak kosztem liczby iteracji potrzebnych do znalezienia tych wartości oraz potencjalnej większej liczby przeprowadzonych podejść.

Analiza funkcji dwuwymiarowych niezaprzeczalnie wskazywała na wyższość modyfikacji numer 2 i 3 jednak dla wyższych wymiarów okazało się, że sposób modyfikacji a nawet jego brak nie wpływa jednoznacznie na jakość wyniku optymalizacji. Co prawda dalej algorytm z modyfikacją nr 2 najszybciej zmniejsza swoją funkcję celu jednak do pewnego momentu oraz kosztem ostatecznego wyniku, który często znacząco odbiega od oczekiwanego optimum oraz wyniku innych, wolniejszych modyfikacji.

Dlatego w kwestii ostatecznego zwycięzcy warto rozważyć na czym nam zależy bardziej, ile wymiarów funkcji zamierzamy optymalizować oraz czy mamy ograniczony czas wykonywania programu. Jeśli chodzi o szybkość działania oraz przeciwnie otrzymany wynik to modyfikacja druga okazuje się najszybsza. W przypadku, gdy możemy pozwolić sobie na więcej testów, które potencjalnie mogą zająć więcej czasu, a zależy nam najbardziej na dokładności rozwiązania, to modyfikacja trzecia okazuje się odpowiednią opcją.

7. Bibliografia

1. https://en.wikipedia.org/wiki/Particle_swarm_optimization
2. <https://www.sfu.ca/~ssurjano/>
3. <https://pure.port.ac.uk/ws/files/83267/geccoPP1.pdf>
4. M. Clerc and J. Kennedy. The particle swarm - explosion, stability and convergence in a multidimensional complex space. *IEEE Transactions on Evolutionary Computation*, 6(1):5873, 2002